

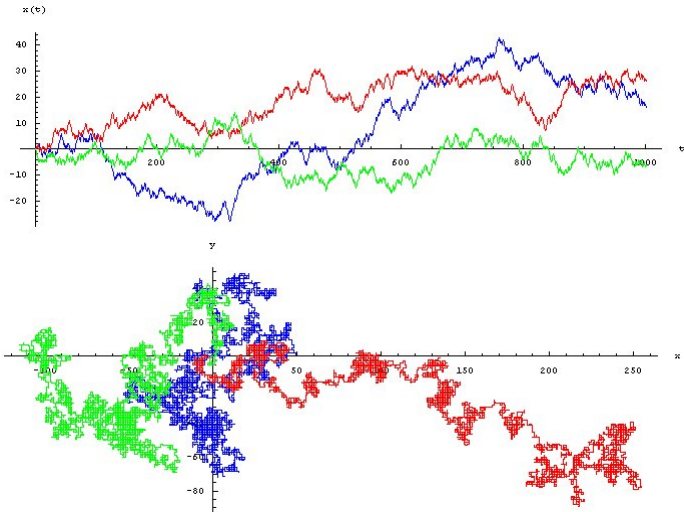
# Régularité de processus aléatoires

Erick Herbin

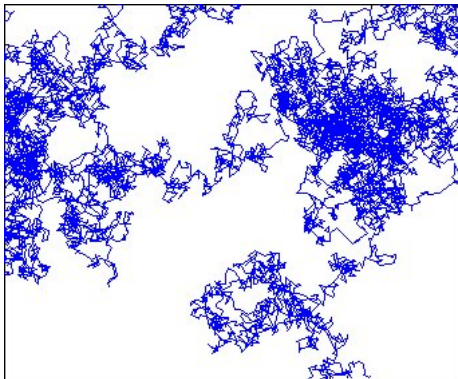
École Centrale Paris

Journées du GDR MASCOT NUM  
IHP 19 mars 2009

## Marche aléatoire sur $\mathbb{Z}$ et $\mathbb{Z}^2$



Marche aléatoire simple sur  $\epsilon\mathbb{Z}^2$  lorsque  $\epsilon \rightarrow 0$



## L'approche par le bruit blanc

Le **bruit blanc** sur  $\mathbb{R}$  est défini comme le processus gaussien  $\mathbb{W} = \{\mathbb{W}(A); A \in \mathcal{B}(\mathbb{R})\}$  de moyenne nulle et de fonction de covariances  $\Sigma(A, B) = \lambda(A \cap B)$ .

## L'approche par le bruit blanc

Le **bruit blanc** sur  $\mathbb{R}$  est défini comme le processus gaussien  $\mathbb{W} = \{\mathbb{W}(A); A \in \mathcal{B}(\mathbb{R})\}$  de moyenne nulle et de fonction de covariances  $\Sigma(A, B) = \lambda(A \cap B)$ .

- (i.) Pour tous  $A, B \in \mathcal{B}(\mathbb{R})$  disjoints,  $\mathbb{W}(A)$  et  $\mathbb{W}(B)$  sont indépendants.

## L'approche par le bruit blanc

Le **bruit blanc** sur  $\mathbb{R}$  est défini comme le processus gaussien  $\mathbb{W} = \{\mathbb{W}(A); A \in \mathcal{B}(\mathbb{R})\}$  de moyenne nulle et de fonction de covariances  $\Sigma(A, B) = \lambda(A \cap B)$ .

- (i.) Pour tous  $A, B \in \mathcal{B}(\mathbb{R})$  disjoints,  $\mathbb{W}(A)$  et  $\mathbb{W}(B)$  sont indépendants.
- (ii.) Pour tous  $A, B \in \mathcal{B}(\mathbb{R})$ ,  
 $\mathbb{W}(A \cup B) = \mathbb{W}(A) + \mathbb{W}(B) - \mathbb{W}(A \cap B)$  p.s.
- (iii.) Si  $(A_n)_{n \in \mathbb{N}^*}$  est une suite d'ensembles de  $\mathcal{B}(\mathbb{R})$  disjoints deux à deux et telle que  $\sum_{n=1}^{\infty} \lambda(A_n) < \infty$ , alors on a

$$\mathbb{W} \left( \bigcup_{n=1}^{\infty} A_n \right) = \sum_{n=1}^{\infty} \mathbb{W}(A_n) \quad \text{p.s.}$$

# Le processus isonormal

Le **processus isonormal** de  $\mathbb{R}$  est défini comme le processus gaussien  $W = \{W(f); f \in L^2(\mathbb{R})\}$  de moyenne nulle et de fonction de covariances

$$\forall h_1, h_2 \in L^2(\mathbb{R}); \quad E[W(h_1)W(h_2)] = \int_{\mathbb{R}} h_1(u)h_2(u) du.$$

De plus, pour tous  $\alpha, \beta \in \mathbb{R}$  et toutes  $f, g \in L^2(\mathbb{R})$ ,

$$W(\alpha f + \beta g) = \alpha W(f) + \beta W(g) \quad \text{p.s.}$$

$$\forall A \in \mathcal{B}(\mathbb{R}); \quad W(A) = W(\mathbb{1}_A).$$

# Mouvement brownien

Le **mouvement brownien** est un processus gaussien  $B = \{B_t; t \in \mathbb{R}_+\}$  de moyenne nulle et de fonction de covariances

$$\forall s, t \in \mathbb{R}_+; \quad E[B_s B_t] = s \wedge t.$$



# Mouvement brownien

Le **mouvement brownien** est un processus gaussien  $B = \{B_t; t \in \mathbb{R}_+\}$  de moyenne nulle et de fonction de covariances

$$\forall s, t \in \mathbb{R}_+; \quad E[B_s B_t] = s \wedge t.$$

- Représentation de Centsov :  
 $B_t = \mathbb{W}([0, t]) = W(\mathbb{1}_{[0,t]}) = \int_{[0,t]} \mathbb{W}(ds).$
- Intégrale de Wiener : pour toute fonction  $f \in L^2(\mathbb{R})$ , on peut définir

$$\int f(s) dB_s = \int f(s) \mathbb{W}(ds) = W(f)$$
$$\int_{[0,t]} f(s) dB_s = \int_{[0,t]} f(s) \mathbb{W}(ds) = W(\mathbb{1}_{[0,t]} f).$$

# Premières propriétés

- Autosimilarité :  $\forall a > 0$ ,

$$\{B_{at}; t \in \mathbb{R}_+\} \stackrel{(d)}{=} \{a^{1/2} B_t; t \in \mathbb{R}_+\}.$$

- Indépendance des accroissements :  $\forall 0 = t_0 < t_1 < \dots < t_n$ , les v.a.  $B_{t_k} - B_{t_{k-1}}$  sont indépendantes.
- Stationnarité des accroissements : Plus précisément,  $\forall s, t \in \mathbb{R}_+$  tels que  $s < t$ , la loi de la v.a.  $B_t - B_s$  est gaussienne centrée de variance  $t - s$ .
- Continuité : Thm. de Kolmogorov-Centsov
- Autres : martingale, processus de Markov, variations infinies sur tout intervalle, ...

## Mouvement brownien fractionnaire (Mandelbrot - Van Ness 1968)

- $B^H$  est un processus gaussien centré de covariance

$$\forall s, t \in \mathbb{R}_+; \quad E \left[ B_s^H B_t^H \right] = \frac{1}{2} \left[ s^{2H} + t^{2H} - |t - s|^{2H} \right]$$

- Représentation à moyenne mobile

$$B_t^H = \int_{-\infty}^0 \left[ (t - u)^{H-\frac{1}{2}} - (-u)^{H-\frac{1}{2}} \right] \cdot \mathbb{W}(du) \\ + \int_0^t (t - u)^{H-\frac{1}{2}} \cdot \mathbb{W}(du)$$

- Représentation harmonisable

$$B_t^H = \int_{\mathbb{R}} \frac{e^{it\xi} - 1}{|\xi|^{H+\frac{1}{2}}} \cdot \hat{\mathbb{W}}(d\xi)$$

# Propriétés fractales

- Stationnarité des accroissements

$$\left\{ B_{t+h}^H - B_h^H; t \in \mathbb{R}_+ \right\} \stackrel{(d)}{=} \left\{ B_t^H - B_0^H; t \in \mathbb{R}_+ \right\}$$

- Autosimilarité

$$\left\{ B_{at}^H; t \in \mathbb{R}_+ \right\} \stackrel{(d)}{=} \left\{ a^H B_t^H; t \in \mathbb{R}_+ \right\}$$

# Propriétés fractales

- Stationnarité des accroissements

$$\left\{ B_{t+h}^H - B_h^H; t \in \mathbb{R}_+ \right\} \stackrel{(d)}{=} \left\{ B_t^H - B_0^H; t \in \mathbb{R}_+ \right\}$$

- Autosimilarité

$$\left\{ B_{at}^H; t \in \mathbb{R}_+ \right\} \stackrel{(d)}{=} \left\{ a^H B_t^H; t \in \mathbb{R}_+ \right\}$$

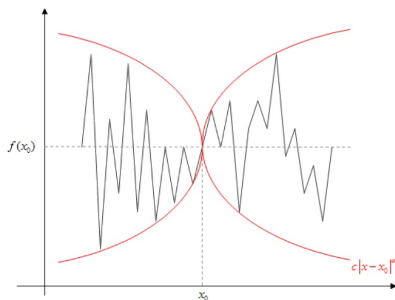
## Caractérisation

Le mouvement brownien fractionnaire est l'unique processus gaussien autosimilaire et à accroissements stationnaires.

# Régularité höldérienne

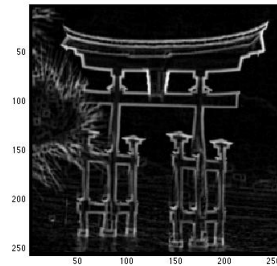
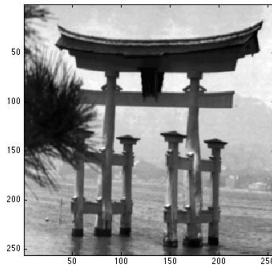
## Exposant de Hölder ponctuel

- Comparaison de  $f(x) - f(x_0)$  avec  $|x - x_0|^\alpha$
- Plus  $\alpha(x_0)$  est grand, plus le signal est lisse et plus  $\alpha(x_0)$  est petit, plus le signal est irrégulier

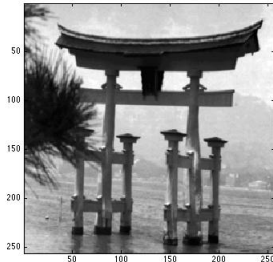


# Exposant de Hölder ponctuel

Exemple de détection de contour

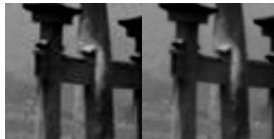


# Exposant de Hölder ponctuel



Exemple d'interpolation

- bicubique
- avec régularité





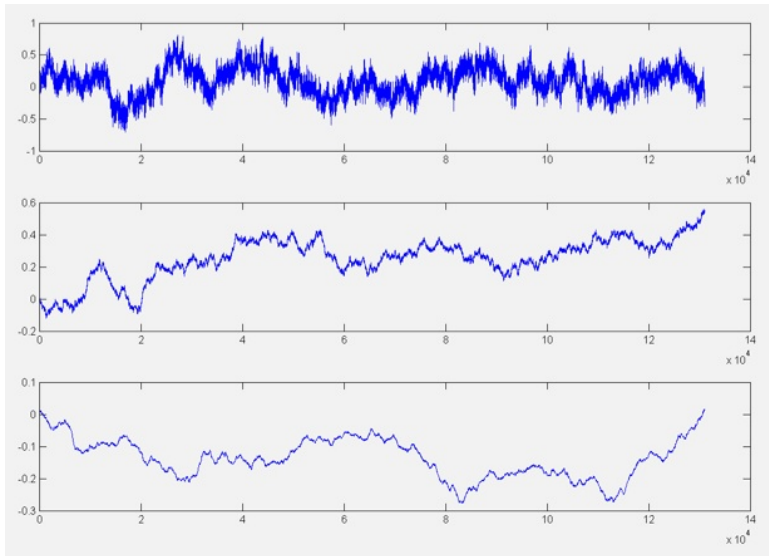
# Régularité höldérienne du fBm

$$\tilde{\alpha}_{B^H}(t_0) = \sup \left\{ \alpha : \limsup_{\rho \rightarrow 0} \sup_{s, t \in B(t_0, \rho)} \frac{|B_t^H - B_s^H|}{|t - s|^\alpha} < \infty \right\}$$
$$\alpha_{B^H}(t_0) = \sup \left\{ \alpha : \limsup_{\rho \rightarrow 0} \sup_{s, t \in B(t_0, \rho)} \frac{|B_t^H - B_s^H|}{\rho^\alpha} < \infty \right\}$$

Les exposants de Hölder ponctuel et local vérifient

$$\alpha(t_0) = \tilde{\alpha}(t_0) = H \quad \text{p.s.} \quad \forall t_0$$

## Trajectoires de fBm pour $H = 0.2$ , $H = 0.5$ et $H = 0.7$



## 2 définitions du mouvement brownien multifractionnaire

- Représentation à moyenne mobile (Peltier et Levy-Vehel 1995)

$$X_t = \int_{-\infty}^0 \left[ (t-u)^{H(t)-\frac{1}{2}} - (-u)^{H(t)-\frac{1}{2}} \right] \cdot \mathbb{W}(du) \\ + \int_0^t (t-u)^{H(t)-\frac{1}{2}} \cdot \mathbb{W}(du)$$

où  $H : \mathbb{R}_+ \rightarrow ]0, 1[$  est höldérienne.

- Représentation harmonisable (Benassi, Jaffard et Roux 1998)

$$X_t = \int_{\mathbb{R}} \frac{e^{it\xi} - 1}{|\xi|^{H(t)+\frac{1}{2}}} \cdot \widehat{\mathbb{W}}(d\xi)$$

Définitions équivalentes à une fonction déterministe multiplicative près.

## Autres représentations du mBm

- Le mBm est un processus gaussien de moyenne nulle et de fonction de covariances

$$E[X_s X_t] = D(H(s) + H(t)) \left[ |s|^{H(s)+H(t)} + |t|^{H(s)+H(t)} - |t-s|^{H(s)+H(t)} \right]$$

où  $D$  est une fonction déterministe connue.

- 

$$X_t = \int_{\mathbb{R}} \left[ |t-u|^{H(t)-\frac{1}{2}} - |u|^{H(t)-\frac{1}{2}} \right] \mathbb{W}(du)$$

## Régularité höldérienne du mBm

L'exposant de Hölder local de  $X$  en  $t_0$  est

$$\tilde{\alpha}_X(t_0) = \tilde{\alpha}_H(t_0) \wedge H(t_0) \quad \text{p.s.}$$

et l'exposant de Hölder ponctuel de  $X$  en  $t_0$  est

$$\alpha(t_0) = \alpha_H(t_0) \wedge H(t_0) \quad \text{p.s.}$$

- Si  $H$  est régulière, la régularité de  $X$  en  $t_0$  vaut  $H(t_0)$
- Si  $H$  est irrégulière, la régularité de  $X$  est celle de  $H$

# Propriétés fractales

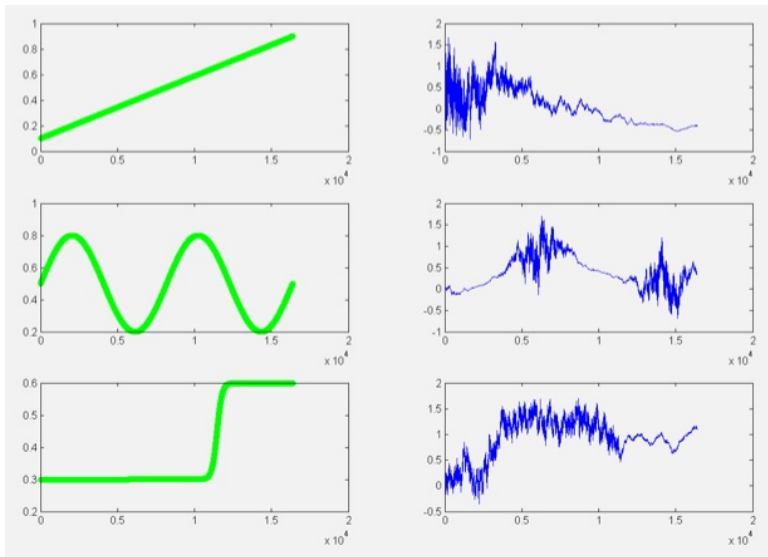
## Autosimilarité asymptotique locale

Pour  $t_0 \in \mathbb{R}_+$ , la loi du processus

$$Y^\alpha(\rho) = \left\{ Y_u^\alpha(\rho) = \frac{X_{t_0+\rho u} - X_{t_0}}{\rho^\alpha}; u \in \mathbb{R}_+^N \right\}$$

converge faiblement lorsque  $\rho \rightarrow 0$  si  $\alpha = H(t_0)$  et  $H(t_0) < \alpha_H(t_0)$   
Alors, la loi limite est celle d'un fBm de paramètre  $H(t_0)$ .

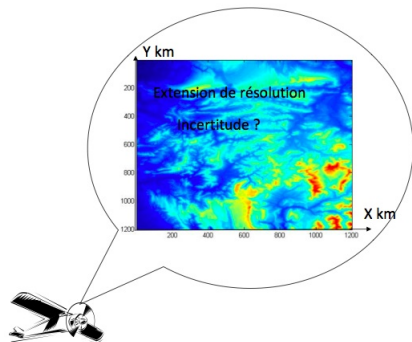
## Trajectoires de mBm pour différentes fonctions de régularité



# Utilisation en cartographie

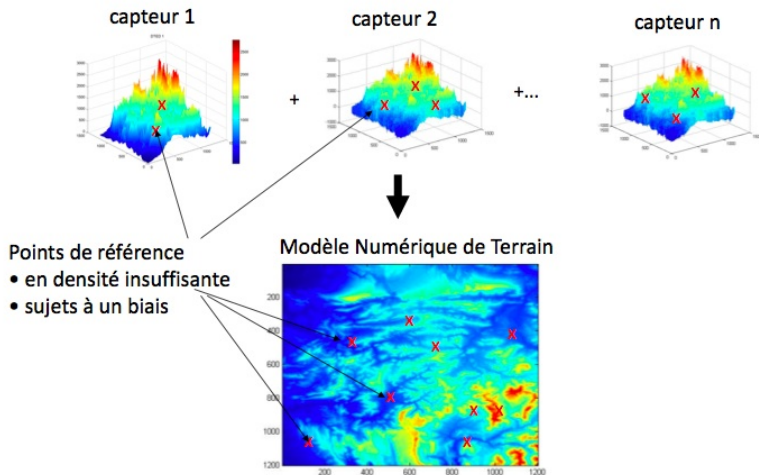
L'incertitude en  $(x, y, z)$  provient

- de l'échantillonnage discret
- des erreurs de mesure (bruit)
- des paramètres de conversion entre systèmes de coordonnées





# Fusion de MNT



# Modèle probabiliste des erreurs

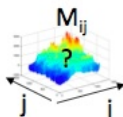
## Deux représentations de terrain

- 1 Un MNT de petite résolution, dont les données sont sûres
  - Grille de référence
- 2 Un MNT de bonne résolution, moins précis mais avec une bonne dynamique
  - Représentativité des fluctuations

# Modèle probabiliste des erreurs

## Deux représentations de terrain

- 1 Un MNT de petite résolution, dont les données sont sûres
  - Grille de référence
- 2 Un MNT de bonne résolution, moins précis mais avec une bonne dynamique
  - Représentativité des fluctuations

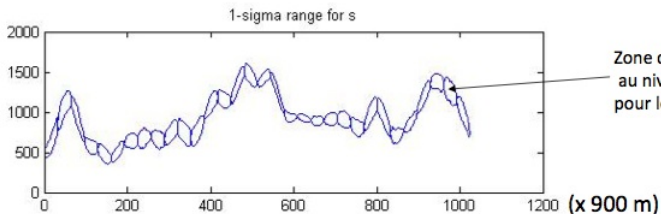
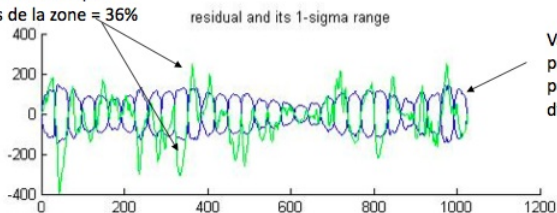


## Processus de fusion

- On cherche à "interpoler" entre les points du 1er, en utilisant la régularité du 2nd
- On utilise un modèle probabiliste d'erreurs superposé à une interpolation lisse

# Utilisation d'un pont brownien multifractionnaire

Proportion de points  
hors de la zone  $\approx 36\%$



## Régularité locale et intégration / dérivation

## Constat

$\alpha_f$  n'est pas stable sous l'action d'opérateur intégro-différentiels

## Exemple :

$$f : \mathbb{R}_+ \rightarrow \mathbb{R} \quad \text{où } \gamma > \delta + 1 \text{ et } \delta > 0.$$
$$x \mapsto x^\gamma \sin \frac{1}{x^\delta}$$

On a

$$\begin{cases} \alpha_f(0) = \gamma \\ f'(x) \sim x^{\gamma-\delta-1} \cos \frac{1}{x^\delta} \quad \mathcal{V}(0) \end{cases} \Rightarrow \alpha_{f'}(0) = \gamma - \delta - 1$$

— Comment prédire la valeur de  $\alpha_{f'}$  à partir de  $\alpha_f$  ?

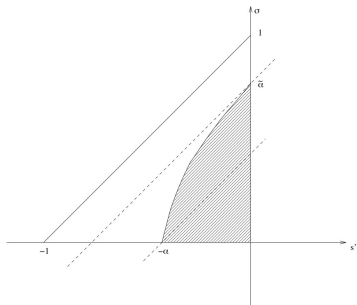
$\Rightarrow$  **analyse 2-microlocale** (J.M. Bony, théorie des EDP).

# Définition des espaces $2-\mu$ (Kolwankar - Lévy Véhel - Seuret)

Dans le triangle

$$\left. \begin{array}{l} 0 < s + s' < 1 \\ s < 1 \\ s' < 0 \end{array} \right\} \Leftrightarrow \left\{ \begin{array}{l} 0 < \sigma < 1 + s' \\ -1 < s' < 0 \end{array} \right.$$

où  $\sigma = s + s'$ ,



$$\varphi \in C_{t_0}^{s,s'} \Leftrightarrow \limsup_{\rho \rightarrow 0} \sup_{t,u \in B(t_0,\rho)} \frac{|\varphi(t) - \varphi(u)|}{\|t - u\|^{s+s'} \rho^{-s'}} < \infty$$

# Propriétés de $C_{t_0}^{s,s'}$

- $\{(s, s') : \varphi \in C_{t_0}^{s,s'}\}$  est convexe
- l'application

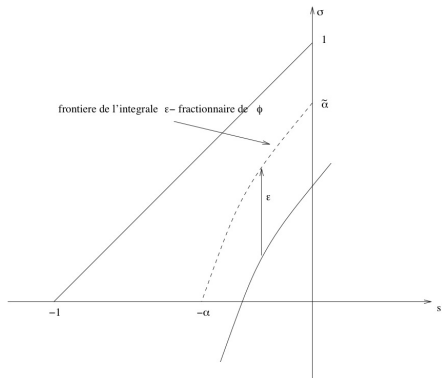
$$s' \mapsto \sigma_{t_0}(s') = \sup \left\{ \sigma : \limsup_{\rho \rightarrow 0} \sup_{t, u \in B(t_0, \rho)} \frac{|\varphi(t) - \varphi(u)|}{\|t - u\|^\sigma \rho^{-s'}} < \infty \right\}$$

est continue

- 

$$\forall t_0 \in \mathbb{R}_+^N, \forall s' < 0; \quad \tilde{\alpha}(t_0) \leq \sigma_{t_0}(s') - s' \leq \alpha(t_0)$$

## Exemple : frontière 2- $\mu$ l des dérivées et intégrations fractionnaires de $\varphi$ ?



— L'exposant ponctuel de  $\varphi'$  peut être obtenue à partir de la frontière 2- $\mu$ l de  $\varphi$ .



# Cas stochastique (H. - Lévy Véhel 2008)

Pour tout  $X = \{X_t; t \in \mathbb{R}_+^N\}$  continu, on définit **les exposants de Hölder local et ponctuel** en  $t_0 \in \mathbb{R}_+^N$

$$\tilde{\alpha}_X(t_0) = \sup \left\{ \alpha : \limsup_{\rho \rightarrow 0} \sup_{s, t \in B(t_0, \rho)} \frac{|X_t - X_s|}{\|t - s\|^\alpha} < \infty \right\}$$
$$\alpha_X(t_0) = \sup \left\{ \alpha : \limsup_{\rho \rightarrow 0} \sup_{s, t \in B(t_0, \rho)} \frac{|X_t - X_s|}{\rho^\alpha} < \infty \right\}$$

# Cas stochastique (H. - Lévy Véhel 2008)

Pour tout  $X = \{X_t; t \in \mathbb{R}_+^N\}$  continu, on définit **les exposants de Hölder local et ponctuel** en  $t_0 \in \mathbb{R}_+^N$

$$\tilde{\alpha}_X(t_0) = \sup \left\{ \alpha : \limsup_{\rho \rightarrow 0} \sup_{s, t \in B(t_0, \rho)} \frac{|X_t - X_s|}{\|t - s\|^\alpha} < \infty \right\}$$
$$\alpha_X(t_0) = \sup \left\{ \alpha : \limsup_{\rho \rightarrow 0} \sup_{s, t \in B(t_0, \rho)} \frac{|X_t - X_s|}{\rho^\alpha} < \infty \right\}$$

et **l'exposant 2-microlocal** ( $s'; \sigma_{t_0}(s')$ ) en  $t_0 \in \mathbb{R}_+^N$

$$\sigma_{t_0}(s') = \sup \left\{ \sigma; \limsup_{\rho \rightarrow 0} \sup_{s, t \in B(t_0, \rho)} \frac{|X_t - X_s|}{\|t - s\|^\sigma \rho^{-s'}} < \infty \right\}$$

# Cas stochastique (H. - Lévy Véhel 2008)

Pour tout  $X = \{X_t; t \in \mathbb{R}_+^N\}$  continu, on définit **les exposants de Hölder local et ponctuel** en  $t_0 \in \mathbb{R}_+^N$

$$\tilde{\alpha}_X(t_0) = \sup \left\{ \alpha : \limsup_{\rho \rightarrow 0} \sup_{s, t \in B(t_0, \rho)} \frac{|X_t - X_s|}{\|t - s\|^\alpha} < \infty \right\}$$
$$\alpha_X(t_0) = \sup \left\{ \alpha : \limsup_{\rho \rightarrow 0} \sup_{s, t \in B(t_0, \rho)} \frac{|X_t - X_s|}{\rho^\alpha} < \infty \right\}$$

et **l'exposant 2-microlocal** ( $s'; \sigma_{t_0}(s')$ ) en  $t_0 \in \mathbb{R}_+^N$

$$\sigma_{t_0}(s') = \sup \left\{ \sigma; \limsup_{\rho \rightarrow 0} \sup_{s, t \in B(t_0, \rho)} \frac{|X_t - X_s|}{\|t - s\|^\sigma \rho^{-s'}} < \infty \right\}$$

$\Rightarrow \tilde{\alpha}_X(t_0)$ ,  $\alpha_X(t_0)$  et  $\sigma_{t_0}(s')$  sont des variables aléatoires. Sous certaines hypothèses, ces exposants ont des valeurs presque sûres.

## Minoration de la frontière 2-microlocale

Prop :

Soit  $X = \{X_t; t \in \mathbb{R}_+^N\}$  un processus cadlag. Si pour  $t_0$ , il existe  $C > 0$  et  $\rho_0 > 0$  telles que

$$\forall 0 < \rho < \rho_0, \forall t, u \in B(t_0, \rho); \quad E[X_t - X_u]^\eta \leq C \|t - u\|^{N+\mu} \rho^{-\nu}$$

avec  $\nu > 0$ ,  $\mu > 0$  et  $\nu > 0$ .

Alors,

$$\sigma_{t_0} \left( \frac{\nu}{\eta} \right) \geq \frac{\mu}{\eta} \quad \text{p.s.}$$

## Frontière 2-microlocale de processus gaussiens

Soit  $X = \{X_t; t \in \mathbb{R}_+^N\}$  un processus gaussien centré continu.  
On définit

- l'exposant de Hölder local **déterministe**

$$\tilde{\alpha}(t_0) = \sup \left\{ \sigma; \limsup_{\rho \rightarrow 0} \sup_{s, t \in B(t_0, \rho)} \frac{E[X_t - X_s]^2}{\|t - s\|^{2\sigma}} < \infty \right\}$$

# Frontière 2-microlocale de processus gaussiens

Soit  $X = \{X_t; t \in \mathbb{R}_+^N\}$  un processus gaussien centré continu.  
On définit

- l'exposant de Hölder local **déterministe**

$$\tilde{\alpha}(t_0) = \sup \left\{ \sigma; \limsup_{\rho \rightarrow 0} \sup_{s, t \in B(t_0, \rho)} \frac{E[X_t - X_s]^2}{\|t - s\|^{2\sigma}} < \infty \right\}$$

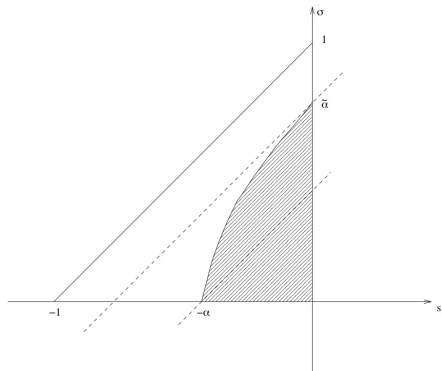
- la fonction 2-microlocale **déterministe**  $s' \mapsto \sigma_{t_0}(s')$

$$\sigma_{t_0}(s') = \sup \left\{ \sigma; \limsup_{\rho \rightarrow 0} \sup_{s, t \in B(t_0, \rho)} \frac{E[X_t - X_s]^2}{\|t - s\|^{2\sigma} \rho^{-2s'}} < \infty \right\}$$

## Frontière 2- $\mu$ presque sûre en un point

Thm :

Soit  $X = \{X_t; t \in \mathbb{R}_+^N\}$  un processus gaussien centré continu.  
 $\forall t_0 \in \mathbb{R}_+^N$ , la frontière 2- $\mu$  en  $t_0$  de la trajectoire de  $X$  est presque sûrement égale au graphe de  $s' \mapsto \sigma_{t_0}(s')$ .



# Frontière $2\text{-}\mu$ presque sûre uniformément sur $\mathbb{R}_+^N$

Thm :

Soit  $X = \{X_t; t \in \mathbb{R}_+^N\}$  un processus gaussien centré continu.  
 Presque sûrement,

$$\forall t_0 \in \mathbb{R}_+^N; \quad \liminf_{u \rightarrow t_0} \tilde{\alpha}(u) \leq \tilde{\alpha}_X(t_0) \leq \limsup_{u \rightarrow t_0} \tilde{\alpha}(u)$$

En conséquence, si  $t_0 \mapsto \tilde{\alpha}(t_0)$  est continue, on a presque sûrement

$$\forall t_0 \in \mathbb{R}_+^N; \quad \tilde{\alpha}_X(t_0) = \tilde{\alpha}(t_0)$$

Corollaire :

sous les mêmes hypothèses, presque sûrement,

$$\forall t_0 \in \mathbb{R}_+^N, \forall s' < 0; \quad \tilde{\alpha}(t_0) + s' \leq \sigma_{t_0}(s') \leq \limsup_{u \rightarrow t_0} \sigma_u(s')$$



## Cas académique : fBm

$$\forall s, t \in \mathbb{R}_+; \quad E \left[ B_t^H - B_s^H \right]^2 = |t - s|^{2H}$$

## Cas académique : fBm

$$\forall s, t \in \mathbb{R}_+; \quad E \left[ B_t^H - B_s^H \right]^2 = |t - s|^{2H}$$

Calcul facile :

$$\begin{aligned} \tilde{\alpha}(t_0) &= H & \forall t_0 \in \mathbb{R}_+ \\ \sigma_{t_0}(s') &= H + s' & \forall t_0 \in \mathbb{R}_+, \forall s' < 0 \end{aligned}$$

## Cas académique : fBm

$$\forall s, t \in \mathbb{R}_+; \quad E \left[ B_t^H - B_s^H \right]^2 = |t - s|^{2H}$$

Calcul facile :

$$\begin{aligned} \tilde{\alpha}(t_0) &= H & \forall t_0 \in \mathbb{R}_+ \\ \sigma_{t_0}(s') &= H + s' & \forall t_0 \in \mathbb{R}_+, \forall s' < 0 \end{aligned}$$

Presque surement,

$$\forall t_0 \in \mathbb{R}_+, \forall s' < 0; \quad \sigma_{t_0}(s') = H + s'$$

## Cas académique : fBm

$$\forall s, t \in \mathbb{R}_+; \quad E \left[ B_t^H - B_s^H \right]^2 = |t - s|^{2H}$$

Calcul facile :

$$\begin{aligned} \tilde{\alpha}(t_0) &= H \quad \forall t_0 \in \mathbb{R}_+ \\ \sigma_{t_0}(s') &= H + s' \quad \forall t_0 \in \mathbb{R}_+, \forall s' < 0 \end{aligned}$$

Presque sûrement,

$$\forall t_0 \in \mathbb{R}_+, \forall s' < 0; \quad \sigma_{t_0}(s') = H + s'$$

Conséquence : presque sûrement,

$$\forall t_0 \in \mathbb{R}_+; \quad \tilde{\alpha}_{B^H}(t_0) = \alpha_{B^H}(t_0) = H$$

⇒ la régularité est constante le long de la trajectoire.

# Mouvement brownien multifractionnaire

Equivalent asymptotique de la covariance du mBm ( $\rho \rightarrow 0$ )

$\forall s, t \in B(t_0, \rho);$

$$E[X_t - X_s]^2 \sim K(t_0) \cdot |t - s|^{2H(t_0)} + L(t_0) \cdot [H(t) - H(s)]^2$$

# Mouvement brownien multifractionnaire

Equivalent asymptotique de la covariance du mBm ( $\rho \rightarrow 0$ )

$\forall s, t \in B(t_0, \rho);$

$$E[X_t - X_s]^2 \sim K(t_0) \cdot |t - s|^{2H(t_0)} + L(t_0) \cdot [H(t) - H(s)]^2$$

## Questions :

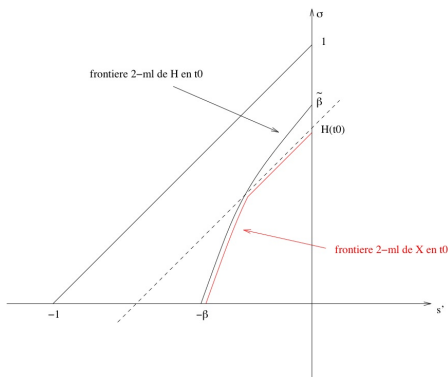
- Peut-on obtenir des valeurs presque sûres des exposants de Hölder, uniformément sur  $\mathbf{R}_+^N$  ?
- Quelle est la frontière 2- $\mu$ l du mBm ?

Prop :

$\forall t_0 \in \mathbb{R}_+$ , la frontière 2- $\mu$ l du mBm en  $t_0$  est presque sûrement

$$\forall s' < 0; \quad \sigma_{t_0}(s') = (H(t_0) + s') \wedge \beta_{t_0}(s')$$

où  $s' \mapsto \beta_{t_0}(s')$  est la fonction 2-microlocale de  $H$  en  $t_0$ .



# Résultats presque surs, uniformément sur $\mathbb{R}_+^N$

Thm :

Si  $t \mapsto \tilde{\beta}(t)$  est continue, alors

$$P \left\{ \forall t_0 \in \mathbb{R}_+; \quad \tilde{\alpha}(t_0) = H(t_0) \wedge \tilde{\beta}(t_0) \right\} = 1$$

Rq : Il n'y a pas de résultat similaire pour l'exposant ponctuel.

Thm :

Sous l'hypothèse  $\forall t_0 \in \mathbb{R}_+; H(t_0) < \tilde{\beta}(t_0)$ , on a

$$P \left\{ \forall t_0 \in \mathbb{R}_+, \forall s' < 0; \quad \sigma_{t_0}(s') = H(t_0) + s' \right\} = 1$$



# Intégrales de Wiener

Thm :

Soit  $X = \{X_t; t \in \mathbb{R}_+\}$  défini par

$$X_t = \int_0^t \eta(u) \cdot dB_u + \psi(t),$$

où  $\eta$  et  $\psi$  sont  $L^2$ .

On pose  $s' \mapsto \beta_{t_0}(s')$  et  $s' \mapsto \gamma_{t_0}(s')$  les frontières  $2 - \mu_l$  de  $\varphi : t \mapsto \int_0^t \eta^2$  et de  $\psi$  en  $t_0$ .

Alors,

$$\sigma_{t_0}(s') = \frac{1}{2} \beta_{t_0}(2s') \wedge \gamma_{t_0}(s') \quad \text{p.s.}$$

# Intégrales de Wiener

## Exemple :

On fixe  $\eta(t) = \sqrt{|t - t_0|^\gamma |\sin(|t - t_0|^{-\delta})|}$  et  $\psi(t) = 0$ .

# Intégrales de Wiener

## Exemple :

On fixe  $\eta(t) = \sqrt{|t - t_0|^\gamma |\sin(|t - t_0|^{-\delta})|}$  et  $\psi(t) = 0$ .

$$\beta_{t_0}(s') = \frac{1}{\delta + 1} s' + \frac{\gamma}{\delta + 1} + 1 \Rightarrow \sigma_{t_0}(s') = \frac{1}{\delta + 1} s' + \frac{\gamma}{2\delta + 2} + \frac{1}{2} \quad \text{p.s.}$$

# Intégrales de Wiener

## Exemple :

On fixe  $\eta(t) = \sqrt{|t - t_0|^\gamma |\sin(|t - t_0|^{-\delta})|}$  et  $\psi(t) = 0$ .

$$\beta_{t_0}(s') = \frac{1}{\delta + 1} s' + \frac{\gamma}{\delta + 1} + 1 \Rightarrow \sigma_{t_0}(s') = \frac{1}{\delta + 1} s' + \frac{\gamma}{2\delta + 2} + \frac{1}{2} \quad \text{p.s.}$$

On en déduit

- Exposant de Hölder ponctuel de  $X$  en  $t_0$  :  $(\gamma + \delta + 1)/2$
- Exposant de Hölder local de  $X$  en  $t_0$  :  $\gamma/(2 + 2\delta) + 1/2$ .

## Questions ?

- Régularité locale dans les modèles de substitution ?
- Intégration stochastique par rapport au mBm ?
- EDS dirigée par un processus multifractionnaire ?
- Quels phénomènes fluctuants sont-ils bien représentés par des processus multifractionnaires ?
- Processus Auto-Régulé Multifractionnaire ?